

Excavación en el túmulo M2 de San Bieito (Lobios, Ourense. 1988 y 1990)

JOSÉ M^a EGUILETA FRANCO

Universidade de Vigo. Área de Prehistoria

1. Introducción.

Presentamos los resultados de una ya antigua excavación arqueológica que llevamos a cabo en Lobios, uno de los municipios de la comarca orensana de la Baixa Limia. No queremos dejar de sacar a la luz un monumento que cuenta, como veremos, con un singular y variado ajuar, con análisis palinológicos y con una datación de C14 [Álvarez Fernández, Díaz Losada, González Porto & Saa Otero, 1998].

El monumento M2 de la Ermida de San Bieito (SBiM2), localizado en la parroquia de Grou y en el término municipal de Lobios, fue sondeado (Campaña 1988) y posteriormente excavado (Campaña 1990) durante las actividades desarrolladas en el proyecto de investigación "*Arqueoloxía na Baixa Límia: o encoro de Léndoso e o seu entorno*" y como siguiente paso a la fase de prospección en el área geográfica que abarcamos en el citado proyecto [cfr. Eguileta Franco, Rodríguez Cao & Xusto Rodríguez, 1991; Eguileta Franco & Xusto Rodríguez, 1995]. Durante esa prospección pudimos comprobar la laguna de información que existía sobre el Megalitismo desde la década de los cincuenta. Así, la última excavación llevada a cabo en las mámoas de la Baixa Limia había sido realizada en Chan de André y Chaira de San Fiz, (Galez, Entrimo) por F. López Cuevillas y X. Lorenzo Fernández [1958], aunque posteriormente se realizó una excavación de rescate en el megalito de Casiña da Moura, en el Valle del Salas [Ferro Couselo, 1972], con motivo de la construcción del embalse del mismo nombre.

La localización y características del monumento que nos ocupa son las que siguen:

-Localización: Provincia de Ourense, ayuntamiento de Lobios, parroquia de Grou (San Mamede), lugar de San Bieito, concretamente a unos 600 m. en dirección SSW de la ermita con la advocación del citado santo. Se emplaza en la penillanura comprendida entre los altos de Santorgo y Ervededo, en la divisoria de aguas de segundo orden entre los ríos Grou e lila y a una altitud de 738 m.s.n.m. (figs. 1 y 2).

-Coordenadas topográficas: 41° 57'12" N; 8° 04'39" W (hoja del M.T.N. escala 1 :25.000 301-1, "Entrimo")

-Dimensiones: diám. mayor (WE): 1700 cm.; diám. menor (NS): 1500 cm.; altura: 130 cm..

-Características del monumento: cámara: no reconocible; túmulo: tierra y piedras; nº de ortostatos en superficie: 2.

-Características del emplazamiento: orografía: llanura/divisoria de aguas; pendiente: 10%; suelo: ránker gris distrófico; afloración y sustrato geológico: migmatita nebulítica; drenaje: bueno; dedicación del entorno: monte bajo; distancia al cultivo actual más próximo: 1000 m..

2. La excavación.

Para sondear el monumento durante la Campaña 1988 empleamos un sistema de cuadrículas de 2m x 2m (4 m²) superpuestas a los cuadrantes da mámoa, cuadrantes formados a partir de los ejes norte/sur y oeste/este del túmulo (fig. 3). Entre ellos seleccionamos el sector sureste por ser éste el que, de existir, nos revelaría de forma más fácil las estructuras arquitectónicas y el acceso de la construcción funeraria. Con este fin dispusimos las cuadrículas a modo de zanja que, desde el centro del cráter de violación (Punto 0) hasta el exterior de la mámoa, nombramos a partir de A1 (y que excavamos hasta la cuadrícula A5; fig. 4), haciendo coincidir el ángulo NW de esta cuadrícula A1 con el punto de intersección de los ejes del monumento (Punto 0). Formaron así las cuadrículas A1, A2, A3, A4 y A5 una zanja continua que nos pudiese ofrecer la información estratigráfica seriada desde el centro de la mámoa hasta el exterior de la misma. Posteriormente, ampliamos las cuadrículas A2 y A3 hacia el sur (A2S y A3S respectivamente).

Los sondeos de la Campaña de 1988 aconsejaron, como veremos, proseguir la excavación del monumento. Una de las causas principales derivó de la distribución espacial del ajuar exhumado, que no llegó a ofrecer contexto arqueológico claro. Otro de los motivos, directamente relacionado con el anterior, radicó en la búsqueda de posibles indicios indicativos de la morfotipología de la cámara que albergó la mámoa. De este modo en la excavación de la Campaña de 1990 continuamos la misma metodología aplicada en los sondeos de 1988. Pudimos constatar ahora la misma secuencia estratigráfica registrada anteriormente (que vere-

mos en apartados siguientes), centrando ahora los trabajos en dos objetivos:

- a) La excavación del sector central del monumento, en un intento de buscar y delimitar el nivel de enterramiento.
- b) La búsqueda de indicios sobre la tipología arquitectónica de la cámara destruida.

Bajo esas líneas directrices excavamos seis cuadrículas (denominadas B1, B2, B3, C1, D1 y D2), distribuidas en los ejes cardinales del monumento de la forma siguiente (figs. 5):

Eje sur-norte	consistente en una zanja trazada desde el centro del cráter de violación (Punto 0) hasta el exterior de la mámoa. Su fin era doble: durante los sondeos de 1988 la cuadrícula A 1 se había centrado en el área de violación, sector que podría conservar algunos restos de la cámara. Ahora las cuadrículas B1, B2 Y B3 ampliarían la excavación en el sector central del monumento.
Eje oeste-este	excavamos una única cuadrícula para completar la excavación del área de violación.
Eje norte-sur	conformó una pequeña zanja (formada por las cuadrículas D1 y D2) desde el centro del cráter de violación (Punto 0) hasta el centro de la masa tumular.

Esta distribución a lo largo de los ejes cardinales, pero de forma enfrentada o no coincidente, nos permitió la ampliación de la excavación de una superficie de 16 m² en el cráter de violación, zona de localización de los restos de una posible cámara. Los restantes 12 m² nos permitieron establecer las comparaciones de la estratigrafía que forma la masa tumular.

Tanto el conjunto de cuadrículas excavadas durante los sondeos de 1988 como los trabajos realizados durante la campaña de 1990, siguieron la metodología de excavación por medio de zanjas enfrentadas en "L" propuesto, en un trabajo ya clásico, por Jorge, V.O. [1978]. Las coordenadas de cada pieza exhumada hacen referencia individualizada a las cuadrículas de las que proceden y no al Punto 0. La coordenada X se refiere a la distancia en cm. hasta el límite norte de cada cuadrícula; la coordenada Y indica esa misma distancia hasta el límite oeste. Finalmente la medida Z o profundidad, también en cm. tiene como referencia la Cota 0, localizada a 70 cm. sobre el Punto 0, en la confluencia de la cuadrículas A1, 81, C1 y D1.

El área de violación: el sector central de la excavación, ocupado por las cuadrículas 81, C1 y D1, contenía una deposición más o menos homogénea de tierra marrón, orgánica y suelta que se mezclaba, sobre todo en las cotas más elevadas, con abundantes piedras de pequeño y mediano tamaño. A medida que a excavación iba avanzando y ganaba en profundidad, el número de piedras disminuía.

Una vez excavado el manto vegetal pudimos comprobar que las piedras se amontonaban en el centro de la cuadrícula C1 y, si bien en menor cantidad, por toda la cuadrícula D1. Se asentaban todas ellas alrededor de una gran mancha subcircular de tierra quemada que ya se adivinaba en los últimos centímetros de la capa vegetal (fig. 5A). Entre las piedras centrales de la cuadrícula C1 aparecieron varios fragmentos de ímbrice. Por otra parte, en el ángulo Noreste de la cuadrícula B1 y en el Noroeste de la C1, apareció enseguida el Estrato IV, que se corresponde con el segundo amontonamiento de tierra para la construcción de la masa tumular. Tras la excavación de la mancha de tierra quemada nos encontramos ante una nueva concentración de piedras que llenaban uno de los agujeros resultantes de las remociones. Después de ser retiradas las piedras de las cuadrículas B1, C1 y D1, bajo aquellas proseguían nuevas concentraciones, progresivamente con menor densidad. La excavación de esta tierra orgánica y suelta ofreció un gran número de concavidades irregulares, fruto de sucesivas destrucciones y rellenos de tierra muy similar a la excavada, pero de textura más suelta. Las destrucciones se prolongaron hasta la roca madre, donde solamente las "fosas" de mayor magnitud quedaron reflejadas en ella. Sin embargo, los agujeros finales solamente presentan un orden aparente en las cuadrículas B1 y C1, razón por la que no podemos asegurar que se correspondan con el "negativo" del lugar de asentamiento de los ortostatos (fig. 5B).

Las cuadrículas de la masa tumular: las comprobaciones estratigráficas previstas en la campaña de excavación de 1990 se basaron en las cuadrículas B2, B3 (complementadas por la cuadrícula B1) y D2. Una vez excavado el Estrato I de la cuadrícula B1, comprobamos la presencia del área de violación; ésta se apoyaba directamente sobre el Estrato IV. Las cuadrículas B2 y B3 también fueron excavadas hasta el inicio de ese mismo Estrato IV. Entre los Estratos I y IV apareció, en primer lugar, una estrecha franja de tierra grisácea que identificamos con el Estrato 11; bajo ella, una tierra marrón amarillenta, con mezcla de minúsculos carbones y formativa del Estrato 111, entra en contacto directo con la superficie del Estrato IV. En la cuadrícula D2, bajo una estrecha capa vegetal, detectamos el estrato VIa. Bajo el Estrato I una gran concentración de piedras de pequeño y mediano tamaño ocupaba el sector central de la cuadrícula. En el sector suroccidental el Estrato IV aparece entre la roca madre y el Estrato 111. Entre los Estratos III y IV aparecen unas placas de piedra relativamente ordenadas que responden a una función constructiva no aclarada.

Características arquitectónicas: la superficie excavada (44 m² frente a los casi 200 m² de superficie total del monumento) no ofreció la posibilidad de definir la estructura funeraria central. Pero lo que sí pudimos comprobar es el lamentable estado de destrucción que sufría. Solamente un fragmento de uno de los ortostatos que formaban la cámara se conservaba en el interior del cráter de violación y en la cuadrícula A1. Dos fragmentos más estaban partidos cerca de aquel y un cuarto fragmento apareció a casi 100 m. del túmulo¹ Todos ellos habían sido ela-

¹ Otro fragmento que localizado en el fondo de la cuadrícula A1, prácticamente sobre el sustrato migmatítico de la roca base, circunstancia que nos da idea del deterioro del monumento.

borados en granito. En las cuadrículas A2, A3 Y A4, se dibujaba una alineación de piedras de pequeño y mediano tamaño que pudieran corresponderse con la estructura de contención de un posible corredor intratumular. Tal sospecha deriva de la relación de la referida alineación con la ausencia del Estrato II en la estratigrafía del Testigo Norte (fig. 6), que si aparece en el Testigo Sur. Pensamos que ese Estrato II respondería a una primera sedimentación posterior el abandono de uso del monumento. La cuadrícula A5 ofreció una gran concentración de piedras de mediano tamaño asentadas directamente sobre el sábreo y localizadas desde el Estrato II. El deteriorado Estrato VIII nos informa sobre la posible existencia de un lecho discontinuo de arena de río que quizá podríamos relacionar con los restos del nivel de enterramiento, se bien tan sólo se conservaba en una pequeña área muy fragmentada y discontinua.

Estratigrafía: la excavación reveló la secuencia que describimos a continuación (fig. 6):

Estrato I	Tierra vegetal, con una potencia muy variable a lo largo de toda la superficie, que oscila entre los 10 cm. y los 40 cm., de textura suelta, con muchas raíces y de color pardo oscuro.
Estrato II	Tierra grisácea, más compacta que la anterior, con poca potencia y trayectoria ondulante. Contiene raíces de la vegetación de superficie.
Estrato III	Tierra marrón, algo más suelta que la anterior y aún con fuerte presencia de raíces. Está mezclada con minúsculos carbones que progresivamente acrecientan su número hacia el estrato siguiente.
Estrato IV	Tierra amarillenta muy sólida y compacta. Continúan apareciendo gran cantidad de pequeños carbones y manchas localizadas de tierra quemada.
Estrato V	Estrecha franja de tierra quemada que limita el área de violación, separándola de los estratos que forman la masa tumular.
Estrato VI	VIa) Área de violación, tierra muy suelta con alto contenido húmico y quemados recientes. Acogía algunas piedras sueltas y fragmentos de teja (ímbrice). VIb) Área de violación, tierra menos suelta que la anterior. Acogía piedras sueltas.
Estrato VII	Pequeña acumulación de tierra clara y arenosa.
Estrato VIII	Lecho de arena de río.

3. Materiales.

Materiales y estratigrafía: durante los sondeos de 1988 fueron exhumados diferentes restos de artefactos líticos y cerámicos. Los atributos contextuales de estas piezas con los estratos detectados muestran distintas relaciones con respecto a la estratigrafía. Las puntas de flecha de base cóncava (SBiM2:1) y recta (SBiM2:2) fueron encontradas en la cuadrícula A1, si bien en cotas y contextos estratigráficos diferentes. La SBiM2:1 procede del Estrato I, casi a nivel superficial, y la SBiM2:2 fue descubierta en el área de violación y a 180 cm. de profundidad con respecto a la Cota 0. El disco pétreo (SBiM2:3) y el ídolo (SBiM2:4), procedentes de la cuadrícula B2, mantienen una relación directa con el Estrato I; el disco apareció sensiblemente más cerca de la superficie. El dudoso afilador de agujas hueso elaborado en arenisca (SBiM2:5) procede de la transición entre los estratos 11 V IV, es decir, entre la masa tumular y la estrecha sedimentación que la cubría. Los fragmentos cerámicos SBiM2:6, SBiM2:7, SBiM2:8 y SBiM2:11 también fueron encontrados a diferentes profundidades V todos ellos en el área de violación (Estrato VIb). Los fragmentos cerámicos SBiM2:9 e SBiM2:10 proceden del Estrato III. A partir de estos datos, podemos adelantar las siguientes valoraciones:

- a) Las puntas de flecha SBiM2:1 y SBiM2:2, el disco (SBiM2:3), el ídolo (SBiM2:4) y los fragmentos cerámicos SBiM2:6, SBiM2:7, SBiM2:8 V SBiM2:11, proceden del área de violación. La variada distribución espacial viene dada por las sucesivas remociones que sufrió el sector central del monumento, posiblemente arrastrando los referidos artefactos desde el sector central de éste V, quizá, del interior de la destruida cámara.
- b) El fragmento cerámica SBiM2:10 V el de fusavola (SBiM2:9) proceden de la segunda camada de tierra amontonada para la edificación de la masa tumular (Estrato 111).
- c) El dudoso afilador de arenisca (SBiM2:5) mantiene dos posibilidades: si está relacionado con el Estrato IV se integraría en la primera camada de construcción. Por el contrario, si la relación se estableciese con el Estrato 11, pensamos que podría corresponderse con una deposición en el nivel de abandono de uso del monumento.

Sumados a los materiales recién citados, durante la excavación de la Campaña 1990 fueron exhumados los siguientes:

- a) Cerámica: 7 fragmentos cerámicos pertenecientes a las panzas de distintos recipientes (SBiM2: 17, 18, 19, 20, 21, 22 V 23).
- b) Industria lítica tallada: dos fragmentos de láminas de cuarzo con secciones triangulares (SBiM2:14 y SBiM2:15) y un fragmento de trapecio (SBiM2:16).
- c) Objetos simbólico-ornamentales: un fragmento de un grueso disco de roca metamórfica rosada decorado con acanaladuras horizontales y transversales (SBiM2:12) y 23 cuentas de collar discoides de esquisto con perforación central V de 3/4 mm. de diámetro (SBiM2:13).

Todos los restos fueron hallados en el área de violación, con la excepción de dos fragmentos cerámicos, de los que uno de ellos procede de la cuadrícula B3 y Estrato III (SBiM2:19) y otro de la cuadrícula D2, Estrato III (SBiM1:21). La diversidad espacial detectada en la distribución de las cuentas discoideas, nos indican la magnitud de las remociones y destrucción del sector que en su momento pudo ocupar la cámara. Todas esas cuentas se encontraron entre los -94 cm. y los -179 cm. de profundidad con respecto a la Cota Ø; así también se esparcían por las cuadrículas C1, D1 y D2. A estas observaciones sumamos el descubrimiento de varios fragmentos de hierro también en el área de violación (fig. 5).

No queremos dejar de destacar la riqueza cuantitativa y cualitativa de los restos exhumados frente a la nula información acerca de la arquitectura interior que guardaba la mámoa, debido a las intensas destrucciones sufridas por este monumento funerario.

Microlitos geométricos: los trapecios constituyen el grupo más numeroso entre los microlitos de las mámoas del Noroeste. Están representados en megalitos con cámaras poligonales simples: entre ellos los M1 de As Rozas [Patiño Gómez, 1984a], M3 de Parxubeira [Rodríguez Casal, 1989], M2 da Abilleira [Bouza Brey, Carro *Otero* & García Martínez, 1973], M7 de Monte da Morá [López Cuevillas, Fráguas & Lorenzana, 1930], M3 de Cha de Parada [Silva, P.FA, 1985], Mámoa de Touta [Gonçalvez, A.H.B., 1988], M1 de Outeiro de Ante [Jorge, V.O., 1980], M3 de Meninas de Crasto [Jorge, V.O., Jorge, s.a. & Cleto, 1987], M2 de Fumas [Jorge, V.O. et al., 1987], o la de Igrejinhas [Cleto & Faro, 1988].

También fueron localizados en dólmenes de corredor: Chan de Arquiña [Sobrino Lorenzo-Ruza, 1956; Peña Santos & Rodríguez Casal, 1976], Mámoa do Rei [Peña Santos & Rodríguez Casal, 1976], Dombate [Bello Diéguez, 1991], M6 de Os Campiños [Fábregas Valcarce & Fuente Andrés, 1984 y 1991], o la M1 de Chá de Parada [Jorge, V.O. & Bettencourt, 1988]. Contamos, además, con otros paralelos en la mámoa M5 de Outeiro de Cavaladre, con una cámara cistoide [cfr. Eguileta Franco, 1994, 1995 y 1999], en cámaras de tipología arquitectónica no definida, como la M1 de Chan da Cruz [Patiño Gómez, 1984b], en mámoas sin estructura interna, como la M1 de Vilafría [Fábregas Valcarce, 1992] o la M3 de Pena Mosqueira [Sanches, 1987] y en monumentos como la M6 de Cruz do Bocelo, con una laja central imbricada en el centro de la sepultura [Vaquero Lastres & Criado Boado, 1988; Criado Boado et al., 1991]. El actual estado de la investigación en el noroeste viene considerando los microlitos como representante de los más antiguos ajuares de las mámoas, consideración apoyada en monumentos como Carapito I², donde los geométricos parecen derivar del epipaleolítico tardenoisiense [V. Leisner, 1970]. Pese a todo, vimos como estos artefactos parecen continuar utilizándose como parte de los ajuares en dólmenes de tipología diversa, y como ya indicamos, en las mámoas M5 de Outeiro de Cavaladre o M6 de Cruz do

²Monumento del que proceden numerosos microlitos, exhumados en el nivel basal datado por radiocarbono en el 2900 ± 40 a.C. [Leisner, V. & Ribeiro, 1968; Cruz & Vilaça, 1990].

Bocelo. Aunque formaron parte de los ajuares megalíticos más primitivos, continúan empleándose/elaborándose durante todo el III^{er} milenio³.

Láminas: contamos con tres pequeñas láminas en la Baixa Limia; tres proceden de la mámoa M5 de Outeiro de Cava ladre y otra de la superficie de la M2 de A Lampaza [cfr. Eguileta Franco, 1994, 1995 Y 1999]. En el Noroeste Peninsular la presencia de láminas es un hecho frecuente, como en la mámoa del km. 24 Ribadavia-Cea [Vázquez Núñez, 1901], en una de las mámoas de Vilamarín [Vázquez Núñez, 1901; Fernández Alonso, 1906], en otra de la Serra Martiñá [López Cuevillas & Lorenzo Fernández, 1959], en las M1 de San Andrés de Lousada [BouzaBrey, Carro Otero & García Martínez, 1973], M6 de Os Campiños [Fábregas Valcarce & Fuente Andrés, 1984 & 19912, Fábregas Valcarce, 1992], Mina da Parxubeira [Rodríguez Casal, 1989], túmulo de Mariñaos [Vázquez Seijas, 1945], Chan de Armada [Peña Santos & Rodríguez Casal, 1976], M5 del Marco do Camballón [Sierra Rodríguez, 1981], M1 de As Rozas [Patiño Gómez, 1984a], Monte Campelos [Rodríguez Casal, 1983b], Dombate [Bello Diéguez, 1991], M87 de Serra Faladoira [Maciñeira, 1947] o M219 de Veiga de Vilavella [Maciñeira, 1941].

Los monumentos del Norte de Portugal también evidenciaron hallazgos de artefactos semejantes: Dolmen da Barrosa [Nunes de Castro, 1951; Jorge, V.O., 1987], Guilhabreu [Payo & Pinto, 1961], M1 Y M3 de Cha de Parada [Jorge, V.O. & Bettencourt, 1988; Silva, P.F.A., 1985], mámoa A de Perafita de Alijó [Botelho, 1898], túmulo 4 de A Presa [Botelho 1896], túmulo Alto de Catorino [Brenha, 1903], Antela 2 da Serra [Sarmiento, 1933] o Monte Maninho [Cruz, 1987]. Vemos así como las láminas proceden de monumentos con tipologías y dataciones diversas, aunque se detectan en los megalitos más antiguos, según se deduce de las dataciones que nos ofrecen algunos monumentos que citamos⁴.

Puntas de flecha de base cóncava y recta: las bases cóncava y recta de puntas de flecha halladas en el monumento que excavamos se diferencian de las de bases triangulares y trapezoidales procedentes de la mayoría de las mámoas gallegas y del noroeste, donde las bases rectas y cóncavas aparecen en contadas ocasiones, como en el posible ejemplar de la Mota Grande de Monte Albán [López Cuevillas, 1925b] o las de las mámoas de Serra Martiñá [López Cuevillas & Lorenzo Fernández, 1959], M2 de Vilafría [Fábregas Valcarce, 1992], M5 de Lousada [Vázquez Varela & Gabeiras Vérez, 19934] o en los abrigos de Pena Grande y O Carrizo [Pombo Mosquera, 1993-4]. El centro-sur de la Península ofrece numerosos ejemplos en O Alentejo: Anta da Capela, Anta Grande de Comenda da Igreja a Anta nº 1 da Velada [cfr. Leisner, G. & Leisner V., 1959], monumentos 1,3, 4, 5 Y 7 de El Pozuelo, sepulturas de falsa cúpula de La Zarcita y de San Bartolomé de la Torre [Cerdán, Leisner, G. & Leisner, V., 1952; VV.AA, 1975; Piñón Varela,

³ Algo similar parece ocurrir en la Meseta Norte [cfr. Delibes de Castro & Santonja, 1986: 164] o en el País Vasco [cfr. Muñoz Salvatierra, 1976 o Cava, 1984 y 1988].

⁴ Como es el caso de Monte Maninho (3855 ± 40 a.C. y 3730 ± 80 a.C.) o de M6 de Os Campiños (2350 ± 60 a.C.).

1987], así como en los sepulcros de Valencia de Alcántara [Bueno Ramírez, 1988] o en los dólmenes de Azután y La Estrella [Bueno Ramírez, 1991]. En la Estremadura portuguesa se hallaron, entre otros monumentos, en el tholos de Barro, en los dólmenes de Casainhos, As Conchadas, Monte Abraao y Estría, en la necrópolis de Alapraia o en las grutas 1 y 3 de Palmela [Leisner, G. & Leisner, V., 1959; Leisner, V., Zbyszewsky & Veiga Ferreira, 1961], además de las sepulturas de Alcar, Pai Mogo o Marcela [Rodríguez Casal, 1992]. Contamos con otros ejemplos más próximos en las Beiras [Jorge, V.O., 1982; Kalb, 1987], Reguengos de Monsaraz [Leisner, G. & Leisner, V., 1951; Gonçalves, V.S., 1992], aunque con menor proporción con respecto a las bases triangulares. Los paralelos citados, sin abarcar la numerosa representación en la mitad meridional peninsular, ofrecen un muestreo para la filiación sureña de estas puntas de flecha de base cóncava en los contextos megalíticos⁵. Otro grupo de paralelos de interés para el tema que nos ocupa lo constituyen los yacimientos calcolíticos al aire libre como Crasto do Ferreiro o Illa de Pazos en la Baixa Limia [Eguileta Franco, 1994, 1995 Y 1999], Lavapés [Peña Santos, 1984] o Mesa de Montes⁶.

En la Meseta se localizan en Las Pozas [Martín Valls & Delibes de Castro, 1981; Delibes de Castro, 1985; Delibes de Castro y Val Recio, 1990] y en el centro/sur de Portugal estas puntas de flecha se reparten por los niveles calcolíticos precampaniformes de Rotura [Gonçalves, V.S., 1971; Veiga Ferreira & Tavares da Silva, 1970] o de Vila Nova de Sao Pedro [Savory, 1970]. Más hacia el norte los ejemplos continúan en asentamientos como Vinha da Soutilha, Pastoria [Jorge, s.a., 1986] o Buraco da Pala [Sanches, 1997]. Las referencias citadas nos conducen a suponer varias posibilidades para las puntas de flecha de la mámoa M2 de San Bieito; éstas debemos considerarlas posteriores al uso megalítico del monumento, según la datación de C14 de 2760 ± 270 a.C.⁷. [Álvarez Fernández, 1993], o adquiridas de los poblados calcolíticos precampaniformes próximos [Eguileta Franco, 1997].

Cuentas discoides: fueron exhumadas 23 cuentas de esquisto dispersas por el área de violación (Estratos VIa y VIb). La representación de estos elementos en las mámoas del Noroeste nos remite al norte de Portugal, como es el caso de Escariz [Jorge, V.O., 1982 y 1987; Silva, P.F.A., 1987], Anta do Couto do Rigueirinho, en Paredes de Coura [Jorge, V.O., 1982], mámoa M3 de Pena Mosqueira [Sanches, 1987], la M1 de Madorras [Gonçalves, A.H.B., 1986] o Carapito I [Leisner, V. &

⁵ El Sureste Peninsular encontramos una nutrida representación de estos artefactos en la "Cultura de los Millares", manifestándose con más intensidad en su segunda fase, iniciada a principios del III^{er} milenio [Almagro & Arribas, 1963]

⁶ En el yacimiento, semejante a Lavapés y excavado por X. Suárez Otero, se encontraron recientemente 13 puntas de base cóncava y recta [Fábregas Valcarce, 1992: 157].

⁷ Datación, no obstante, que debemos tomar con cautela, por ser la única con que contamos para el monumento y por su elevada desviación típica.

Ribeiro, 1968]⁸, monumentos con contextos y cronologías diversas. Pero para la mámoa SBiM2 debemos contemplar la asociación con las puntas de flecha de bases cóncava y recta, artefactos como vimos extraños en los monumentos megalíticos del Noroeste y, quizá, tardíos/serodios con respecto al Fenómeno Megalítico. En los paralelos citados observamos arquitecturas megalíticas que incluyen entre sus ajuares artefactos calcólicos precampaniformes y posteriores, y en los que aparecen las cuentas discoides asociadas con las referidas puntas de flecha. Ante tales consideraciones las cuentas de la mámoa SBiM2 debieran responder, a juzgar por la datación absoluta ofrecida por la base del monumento, bien a una deposición secundaria, bien a una adquisición procedente de contextos culturalmente diferenciados. Consideramos más probable la última de las explicaciones.

El ídolo: incluimos el artefacto SbiM2:4 entre las posiblemente catalogables dentro de estos elementos simbólicos. El investigador R. Fábregas Valcarce nos ofrece una clasificación tipológica provisional⁹ [Fábregas Valcarce, 1992: 170 y ss.] a la que no se adapta la pieza que ahora tratamos, aunque mantiene en común la forma general subpentagonal y los entalles o estrangulamientos laterales como el "guijarro" de la mámoa M1 de A Moura y con la recogida en las inmediaciones de Monte das Motas, en las proximidades de este grupo tumular¹⁰ [Eguileta Franco, 1994, 1995 y 1999]. Bien es cierto que por ahora contamos con escasas referencias y, quizá, demasiadas variantes morfológicas entre los denominados ídolos, lo que nos puede poner en cuestión la interpretación de un criterio de unidad simbólica (que no tipológica). En Galicia los hallazgos de ídolos son muy escasos: Dombate [Bello Diéguez, 1991], Cova da Moura [Agrafoxo Pérez, 1986] o Mina da Parxubeira [Rodríguez Casal, 1989]. En los tres casos esas piezas proceden de los atrios de las cámaras, lo que parece reflejar una unidad de criterios microespaciales en relación con las sepulturas. Por su parte el ídolo de San Bieito, aunque hallado en el estrato de tierra vegetal, parecía haber sido arrastrado de la destruida cámara durante uno de los saqueos. Quizá relacionados con esos materiales, referiríamos otros procedentes de las mámoas del Noroeste, como el de la mámoa de Rabo de Lobo [Fábregas Valcarce, 1992], y los de la M2 y M3 de Outeiro de Gregos [Jorge, V.O., 1979].

⁸ En O Alentejo las cuentas discoides proceden de monumentos con cámaras de tipologías diversas, como Cabeço de Arruda 1 y 2, acompañada de materiales calcólicos predominantemente precampaniformes, en el dolmen de Casainhos, con puntas de flecha de bases triangulares y cóncavas, en la Cámara Occidental de Praia das Ma~as, en el dolmen de Monte Abraão, en Alapraia 2, en la Gruta 1 de Cascais, o en las grutas de Palmela 1,2 Y 3, localizándose en la Gruta 4 cuentas más gruesas [Leisner, G. & Leisner, V., 1959]. También en O Alentejo continúa su representación en los tholos de Barranco da Nora Velha, en el dolmen de corredor de Anta grande da Comenda da Igreja, en el de corredor indiferenciado de Anta de Cabeços, en los también de corredor de Cebolinho 1, en Anta do Passo 1, Comenda 1, Santa Margarida o en la Anta 2 de Monte Velho, de diferentes tipologías, y en los monumentos de Buço Preto 2, así como en Palmeira 2 y 3 [Leisner, G. & Leisner, V., 1959].

⁹I) Ídolos "guijarro"; II) Tipo Argalo; III) Antropomórficos; IV) Bétilos; V) Tipo Alijó; VI) Placas rectangulares y VII) Formas especiales.

¹⁰ La pieza nos fue entregada por los alumnos del Grupo Escolar de E.G.B. de Lobeira, a quienes, desde estas líneas, queremos mostrar nuestro agradecimiento.

Discos: el registrado como SBiM2:3 cuenta con escasos paralelos conocidos en Galicia. Hasta el momento fueron localizados, en las mámoas M5 de Outeiro de Cava ladre [Eguileta Franco, 1994, 1995 y 1999], M6 de Os Campiñas [Fábregas Valcarce & Fuente Andrés, 1991-2¹¹] y Chan de Castiñeiras [Peña Santos & Rodríguez Casal, 1975]. El artefacto de San Bieito, procede del Estrato I (tierra vegetal), por lo que no podemos considerarla con certeza como formativa del ajuar. Los paralelos citados evidencian una gran variedad en las tipologías de las cámaras en las que se hallaron estos discos, hecho que apuntaba R. Fábregas Valcarce [1992: 212].

El disco decorado: la pieza SbiM2:12, procedente del área de violación, comparte algunas características con los denominados "Discos Rechaba", entre ellas la forma circular, la perforación central, el perfil aplanado y las acanaladuras [cfr. Fábregas Valcarce, 1992: 96 y 97] aunque posee otros atributos, como las reducidas dimensiones o la ausencia de pulimento, que la diferencia de aquellos. No obstante, quizá este discoide decorado pudiera ser una interpretación local de los discos tipo Rechaba¹². Por el momento contamos con pocos paralelos en las mámoas del Noroeste, entre ellos la mámoa de Rechaba [Vázquez Varela, 1979] y la de A Martona [Fábregas Valcarce, 1988], ambos muy deteriorados; pero R. Fábregas Valcarce propone una cronología circa finales del III^{er} milenio/principios del II^o milenio, según los paralelos calcolíticos (Mesa de Montes y Penha) y campaniformes (Morcigueira) [Fábregas Valcarce, 1992: 99].

El incierto afilador de agujas de hueso: no podemos definir con exactitud la función de la pieza SbiM2:5, aunque su materia prima (arenisca) y su acanaladura longitudinal nos conduce a suponer que se trate de un afilador de agujas de hueso. No contamos con paralelos en las mámoas gallegas y parece que un ejemplar del tipo "grano de café" de la gruta-sepultura n^o 1 Cabeço de Arruda si cumple esta función. Estos elementos aparecen con profusión en contextos del Paleolítico Superior de la Cornisa Cantábrica, aunque con forma muy distinta a la pieza que tratamos. Pero el referido ejemplar de Cabeço de Arruda se localizó junto a elementos calcolíticos que forman un contexto que podría ser similar a la pieza de San Bieito, tanto más si tenemos en cuentas su asociación con las puntas de flecha de bases cóncava y recta y las cuentas discoides.

¹¹ En Portugal conocemos discos de diversos tamaños, factura y grosor de la sección. Así, en diferentes monumentos del Alentejo se localizan en la Sepultura 3 o Anta Grande de Casa Branca, en el sepulcro de corredor de Brissos 1, en Anta Grande de Entraguas o Entreaguas 1, en Adua 2, Caira 2 y Cabeços; todas las sepulturas incluyen cámaras con corredor. En la Estremadura portuguesa se localizó un ejemplar en el tholos de Praia das Mayas. [Leisner, G. & Leisner, V., 1959]. En la Beira Alta aparecen en arca dos Juncais y en arca do Tanque [Moita, 1966]. También contamos con ejemplos aislados en Huelva, como la sepultura N^o 8 de El Pozuelo [Leisner, G. & Leisner, V. 1959]. En la Meseta Oriental, los encontramos en el Dolmen de Las Arnillas, Burgos [Delibes, Rojo & Sanz, 1986].

¹² Suposición que apoyamos en la elaboración con migmatita nebulítica, la misma roca del sustrato donde se emplaza el monumento.

La fusayola: para el fragmento de fusayola¹³ (SBiM2:9) tan sólo contamos con un paralelo en un contexto tumular en Galicia, en la mámoa M5 de Marco do Camballón [Sierra Rodríguez, 1981]. Para F. de la Fuente Andrés [1988], quizá estos artefactos tuvieran relación con las placas y los discos perforados como los de San Cibrao [López Cuevillas, 1925b] o Vilamarín [López Cuevillas, 1973]. También en Portugal los paralelos en mámoas son muy escasos, apareciendo fusayolas líticas en la M1 de Madorras [Gonçalves, A.H.B., 1986] o en la M4 da Aliviada [Silva, P.F.A., 1987]. Otras proceden de la Herdade dos Galvões y Belavista [Leisner, G. & Leisner, V., 1959], junto a puntas Palmela. En contextos calcolíticos precampaniformes del Norte se localizan en Vinha da Soutilha y San Lourenço [Jorge, S.O., 1986], contextos que nos conducen de nuevo a valorar gran parte del ajuar de la mámoa SBiM2 como una posible adquisición procedente de contextos habitacionales calcolíticos próximos por parte de los "usuarios" del monumento.

4. Primeras conclusiones.

El intenso esparcimiento detectado en la distribución espacial y estratigráfica de los restos del ajuar habla por sí mismo de la destrucción de las estructuras arquitectónicas y del revuelto de los restos con respecto a ellas. De momento, los elementos de análisis con más capacidad informativa entre los artefactos descubiertos lo constituyen las puntas de flecha. Sus tipologías, con bases cóncava y recta, se diferencian de las puntas de bases triangulares, atribuidas tradicionalmente al Megalitismo del noroeste Peninsular. Así las procedentes de la excavación que nos ocupa, pueden responder bien a una deposición intrusiva postmegalítica, dada la evidente presencia de estas puntas con base cóncava en contextos culturales postmegalíticos (principalmente precampaniformes y campaniformes), bien a una posible adquisición procedente de contextos calcolíticos habitacionales territorialmente próximos¹⁴, siendo esta última explicación la que consideramos más factible. Este hecho pudiera tener un parangón territorialmente muy próximo con el hallazgo de cerámica Penha en la mámoa M7 de Lobeira o M7 de Monte das Motas [cfr. López Cuevillas, 1925a o Eguileta Franco 1994 y 1999]. También en la comarca de la Baixa Limia fue hallada otra punta de flecha de base cóncava en la superficie de una pista forestal del paraje de Outeiro de Cavaladre (Maus de Salas y Requiás-Guntumil, Muíños), donde se emplazan el grupo tumular del mismo nombre [Eguileta Franco, 1994, 1995 y 1999].

En la mámoa M2 de San Bieito fueron realizados análisis polínicos y uno de C14 procedente de la base de la masa tumular, datación absoluta posiblemente correspondiente con la edificación del monumento: ICEN762: 4717 ± 270 BP (2717

¹³ Aunque no descartamos la posibilidad de encontramos ante un fragmento de un asa de suspensión, dada la suave tendencia curvada de su sección.

¹⁴ Como los yacimientos al aire libre descubiertos en el embalse de As Conchas [Eguileta Franco, 1994, 1995, 1997 y 1999].

± 270 a.C.) C14 [Álvarez Fernández, Díaz Losada, González Porto & Saa Otero, 1998]. Esta fecha sitúa la edificación de la SBiM2 quizá en la primera mitad del III^{er} milenio¹⁵, aunque algunos de los materiales exhumados en ella se diferencian de los prototipos de ajuares de este momento y siendo más comunes en yacimientos cronológico y culturalmente diferenciados.¹⁶

Con respecto a los resultados de las muestras polínicas de la mámoa M2 de San Bieito y según los datos facilitados por las citadas investigadoras (figs. 12 y 13), existe un predominio del polen arbóreo sobre el no arbóreo. En los niveles superiores destacar el *Quercus*, que disminuye a medida que nos acercamos a los niveles inferiores del túmulo, donde se incrementa progresivamente la *Betula* sp. Únicamente de los niveles superiores proceden muestras de *Cerealia* sp. El recuento total de muestras revela una vegetación característica del período Atlántico. En combinación con las muestras procedentes de la turbera de O Vieiro, estas investigadoras, entre otros aspectos, destacan los siguientes:

"La presencia de Quercus como componente más abundante del bosque en la segunda mitad del periodo Atlántico.

La presencia de Corylus, Bétula y Alnus como elementos acompañantes en el bosque Atlántico y Subatlántico.

La presencia puntual de Castanea en niveles polínicos cronológicamente pertenecientes al período Atlántico.

La existencia puntual de gramíneas de cultivo en niveles Atlánticos y su mayor importancia en niveles más recientes" [Álvarez Fernández, Díaz Losada, González Porto & Saa Otero, 1998: 189].

¹⁵ Valoración que debemos observar con cautela, ya que deriva de una única datación y de un margen cronológico muy amplio.

¹⁶ Entre los que podemos citar Vinha da Soutilha, Castelo de Aguiar [Jorge, O.S., 1986], Lavapés [Peña Santos, 1984], etc..

Anexo: listado y descripción de materiales.

SBiM2:1. Punta de flecha (fig. 7).

- Localización: cuadrícula A1; estrato I; coordenadas: X:080, Y:016, Z:-60.
- Dimensiones: longitud, 28 mm.; anchura: 25 mm.; grosor: 3 mm..
- Descripción: bordes convergentes/rectilíneos; base cóncava; sección biconvexa; índice de longitud, 1.1 (media); índice de grosor, 8.3 (delgada).
- Material: esquistoso.
- Retoque: amplitud profunda; posición bifacial; delineación denticulada simple; modo plano y cubriente.

SbiM2:2. Punta de flecha (fig. 7).

- Localización: cuadrícula A1; estrato VIb; coordenadas: X:134, Y:042, Z:-180.
- Dimensiones: longitud, 26 mm.; anchura: 26 mm.; grosor: 6 mm..
- Descripción: bordes convergentes/rectilíneos; base recta; sección biconvexa; índice de longitud, (corta); índice de grosor, 8.3 (delgada).
- Material: cuarzo.
- Retoque: amplitud profunda; posición bifacial; delineación denticulada simple; modo plano y cubriente.

SBiM2:3. Disco lítico (fig. 8).

- Localización: cuadrícula A2; estrato I; coordenadas: X: 026, Y:059, Z:-28.
- Dimensiones: diámetro mayor, 66 mm.; diámetro menor: 61 mm.; grosor: 14 mm..
- Descripción: presenta un grosero labrado en las caras laterales, además de un entalle en una de ellas.
- Material: esquisto.

SBiM2:4. ídolo (fig. 9).

- Localización: cuadrícula A2S; estrato I; coordenadas: X: 070, Y:032, Z:-18.
- Dimensiones: longitud, 114 mm.; anchura, 84 mm.; grosor, 30 mm..
- Descripción: placa subrectangular de granito; presenta los lados menores uniformemente redondeados. Los lados mayores se truncan en su desarrollo, uno de ellos por un entalle, y por dos el otro (si bien en este caso, menos pronunciados que en el anterior).
- Anverso: presenta en el centro de la pieza y longitudinalmente con respecto al eje mayor, un canal con perfil en "U", con una anchura media de 7 mm. y una longitud de 25 mm. Desde aquí continúan, en la misma dirección, cuatro "coviñas" o cazoletas de desigual profundidad y tamaño. La primera, con un diámetro transversal de 18 mm.; la segunda con 40 mm.; la tercera con 20 mm. y la cuarta con 30 mm.; alrededor de esta composición la pieza está pulimentada hasta el inicio de los bordes.
- Reverso: mantiene un pulimento uniforme en toda la superficie de esta cara.
- Observaciones: uno de los lados menores sufre un "desconchado", aproximadamente en su área central.

SBiM2:5. ¿Afilador de agujas de hueso? (fig. 8).

- Localización: cuadrícula A2; estrato II/IV.

-Dimensiones: longitud del fragmento, 28 mm.; anchura, 21 mm.; grosor, 12 mm.; anchura de la acanaladura, 8 mm..

-Descripción: sección pseudotrapezoidal; forma de la acanaladura, rectilínea; sección de la acanaladura, en "u" abierta.

-Material: arenisca.

SBiM2:6. Fragmento cerámico de panza (fig. 11).

-Localización: cuadrícula A2; estrato VIb; coordenadas: X:165, Y:074, 2:-77.

-Dimensiones: 38 mm. x 26 mm.; sección: 6 mm..

-Descripción: color marrón rojizo; superficie muy deteriorada y con fuerte presencia de mica; pasta homogénea y algo suelta; desgrasantes finos, de cuarzo y mica; cocción oxidante.

-Decoración: conserva una línea incisa horizontal y los restos de un pequeño mamilo.

SBiM2:7. Fragmento cerámico de borde y cuello (fig. 11).

-Localización: cuadrícula A1; estrato VIb; coordenadas: X:115, Y:083, 2:-118.

-Dimensiones: 21 mm. x 26 mm.; sección: 6 mm..

-Descripción: color rojizo; superficie muy alisada; pasta homogénea y compacta; desgrasantes finos y medios, de cuarzo y mica; cocción oxidante.

SBiM2:8. Fragmento cerámico de panza (fig. 11).

-Localización: cuadrícula A1; estrato VIb; coordenadas: X:094, Y:138, 2:-125.

-Dimensiones: 32 mm. x 28 mm.; sección: 6.5 mm..

-Descripción: color rojizo; superficie grosera; pasta homogénea y algo suelta; desgrasantes finos y medios, de cuarzo y mica; cocción oxidante.

SBiM2:9. Fragmento cerámico ¿de fusayola? (fig. 11).

-Localización: cuadrícula A2; estrato III; coordenadas: X:062, Y:102, 2:-69.

-Dimensiones: 31 mm. x 20 mm.; sección: 8 mm..

-Descripción: color ocre-pardo; superficie espatulada; pasta homogénea y compacta; desgrasantes finos, de cuarzo y mica; cocción oxidante.

SBiM2:10. Fragmento cerámico de borde (fig. 11).

-Localización: cuadrícula A2; estrato III; coordenadas: X:120, Y:193, 2:-78.

-Dimensiones: 20 mm. x 20 mm.; sección: 5 mm..

-Descripción: color ocre rojizo; superficie alisada; pasta homogénea y algo suelta; desgrasantes finos, de cuarzo y mica; cocción oxidante; borde con labio ligeramente abultado.

SBiM2: 11. Fragmento cerámico de borde (fig. 11).

-Localización: cuadrícula A1; estrato VIb; coordenadas: X:132, Y:076, 2:-140.

-Dimensiones: 25 mm. x 22 mm.; sección: 8 mm..

-Descripción: color marronáceo; superficie porosa; pasta homogénea y suelta; desgrasantes finos y medios, de cuarzo y mica; cocción oxidante.

SBiM2:12. Fragmento de esferoide lítico decorado (fig. 10).

-Localización: cuadrícula D2; estrato VIb; coordenadas: X:056, Y:170, 2:-180.

-Dimensiones: longitud del fragmento, 56 mm.; anchura del fragmento, 30 mm.; grosor, 35 mm.; diámetro mayor de la reconstrucción, 57 mm.; diámetro menor de la reconstrucción, 55.5 mm..

-Descripción: la reconstrucción ideal muestra una forma general circular.

Está decorada por medio de dos acanaladuras con una anchura media de 10 mm. y una profundidad de 2 mm., ambas con sección en "U" muy abierta. Una de ellas corta transversalmente la pieza en su eje menor (la otra cara no es perceptible por causa de su fragmentación). La segunda acanaladura sigue el centro de la circunferencia exterior de la pieza por todo el recorrido conservado.

-Material: migmatita nebulítica.

SBiM2:13. Veintitrés cuentas discoides perforadas (fig. 10).

-Localización:

Números	X	Y	Z	Cuadrícula/Estrato
13a	163	056	-095	D2/VIa
13b/13c/13e	146	070	-094	D2/VIa
13f/13g	090	136	-101	D2/VIa
13h	146	030	-113	D2/VIa
13i	119	112	-115	D1/VIa
13j	184	049	-095	D1/VIb
13k	175	067	-098	D1/VIb
13l/13m/13n	170	116	-124	D1/VIb
13o	121	142	-130	D1/VIb
13p	103	113	-130	D1/VIb
13q/13r	118	054	-134	D1/VIb
13s	073	130	-139	D1/VIb
13t	034	110	-161	D1/VIb
13u/13v	056	073	-166	D1/VIb
13w	184	119	-179	C1/VIb

-Dimensiones: muestran una gran uniformidad, con unos diámetros que oscilan entre los 4 mm. y los 3 mm.; las secciones más anchas nunca sobrepasan la medida de 1 mm. de grosor.

-Descripción: todas las cuentas mantienen una morfología discoidal circular con una perforación central. Entre esas perforaciones predominan las circulares, aunque son relativamente abundantes las elípticas.

-Material: esquisto.

SBiM2:14. Fragmento de lasca laminar (fig.7).

-Localización: cuadrícula D2; estrato 11111; coordenadas: X:186, Y:036, Z:-65.

-Dimensiones: longitud del fragmento, 32 mm.; anchura, 21 mm.; grosor, 9 mm..

-Descripción: sección triangular; perfil recto; índice <3 (la reconstrucción ideal la longitud nunca supera los 40 mm.).

-Material: cuarzo.

-Retoque: carece.

SBiM2:15. Fragmento laminar (fig. 7).

-Localización: cuadrícula D1; estrato VIb; coordenadas: X:156, Y:188, Z:-178.

-Dimensiones: longitud del fragmento, 25 mm.; anchura, 26 mm.; grosor, 6 mm..

-Descripción: sección triangular; perfil ¿recto?

-Material: cuarzo.

-Retoque: carece.

SBiM2:16. Fragmento de microlito (trapecio) (fig. 7).

-Localización: cuadrícula C1; estrato VIb; coordenadas: X:175, Y:130, Z:-183.

-Dimensiones: longitud del fragmento, 25 mm.; anchura, 26 mm.; grosor, 3 mm..

-Descripción: sección triangular; índice de longitud: ?

-Material: sílex blanco.

-Retoque: marginal y abrupto.

SBiM2:17. Fragmento cerámico de panza (fig.11).

-Localización: cuadrícula D1; estrato VIa; coordenadas: X:056, Y:103, Z:-108.

-Dimensiones: 32 mm. x 22 mm.; sección: 7 mm..

-Descripción: color marronáceo; superficie alisada; pasta homogénea y compacta; desgrasantes finos, de cuarzo y mica; cocción oxidante.

SBiM2:18. Fragmento cerámico de panza (fig. 11).

-Localización: cuadrícula B1; estrato VIa; coordenadas: X:168, Y:176, Z:-98.

-Dimensiones: 12 mm. x 20 mm.; sección: 3 mm..

-Descripción: color marronáceo; superficie alisada; pasta homogénea y compacta; desgrasantes finos, de cuarzo y mica; cocción ¿reductora?

SBiM2:19. Fragmento cerámico de panza (fig. 11).

-Localización: cuadrícula B3; estrato 111; coordenadas: X:197, Y:143, Z:-84.

-Dimensiones: 15 mm. x 19 mm.; sección: 4 mm..

-Descripción: color marronáceo; superficie alisada; pasta homogénea y compacta; desgrasantes finos, de cuarzo y mica; cocción ¿reductora?

SBiM2:20. Fragmento cerámico de panza (fig. 11).

-Localización: cuadrícula C1; estrato VIb; coordenadas: X:074, Y:045, Z:-11 O.

-Dimensiones: 21 mm. x 22 mm.; sección: 6 mm..

-Descripción: color marronáceo; superficie alisada; pasta homogénea y compacta; desgrasantes finos, de cuarzo y mica; cocción ¿reductora?

SBiM2:21. Fragmento cerámico de panza (fig. 11).

-Localización: cuadrícula D2; estrato 111; coordenadas: X:040, Y:076, Z:-142.

-Dimensiones: 41 mm. x 24 mm.; sección: 4.5 mm..

-Descripción: color marronáceo; superficie alisada; pasta homogénea y compacta; desgrasantes finos, de cuarzo y mica; cocción ¿reductora?

SBiM2:22. Fragmento cerámico de panza (fig. 11).

- Localización: cuadrícula Cl; estrato VIb; coordenadas: X:140, Y:102, Z:-183.
- Dimensiones: 23 mm. x 22 mm.; sección: 9 mm..
- Descripción: color rojizo; superficie alisada; pasta homogénea y porosa; desgrasantes finos, de cuarzo y mica; cocción oxidante.

SBiM2:23. Fragmento cerámico de panza (fig. 11).

- Localización: cuadrícula D1; estrato VIb; coordenadas: X:160, Y:070, Z:-204.
- Dimensiones: 23 mm. x 32 mm.; sección: 6 mm..
- Descripción: cor rojizo; superficie alisada; pasta homogénea y porosa; desgrasantes finos, de cuarzo y mica; cocción oxidante.

Junto con los materiais descritos fueron hallados varios fragmentos cerámicos más. Dos de color rojizo y muy deteriorados, con características similares a los del fragmento SBiM2:8. Otro, de sección muy gruesa (12 mm.) e superficie bruñida, con un color, pasta y desgrasantes próximos a la descrita como SBiM2:6. A estas la acompañabans veintinueve fragmentos de desigual tamaño (si bien todos ellos muy pequeños) y con predominio de secciones en torno a los 4 mm.; sus pastas, homogéneas y compactas, y con desgrasantes muy finos, mantienen una cuidadosa elaboración y el predominio de colores pardos oscuros y negros, con paredes finas.

Agradecimientos.

Queremos expresar nuestro agradecimiento al Concello de Lobios, al I.N.E.M. de Ourense y la Consellería de Cultura de la Xunta de Galicia, instituciones a las que hicieron posible y financiaron el proyecto de investigación "*Arqueoloxía na Baixa Limia: o encoro de Lindoso e o seu entorno*", incluida esta intervención arqueológica.

Así también, a la Dra. Ma del Pilar de Sá Otero, quien dirigió el proyecto de análisis polínicos, entre otros puntos y yacimientos, del túmulo M2 de San Bieito. A este equipo se debe la obtención de la datación de C14 y de las gráficas que incluimos en este trabajo.

Ourense, mayo de 2000

Bibliografía citada.

- AGRAFOXO PÉREZ, X., 1986, *Prehistoria e Arqueoloxía da Terra da Barbanza*. Santiago de Compostela.
- ALMAGRO, M. & ARRIBAS, A., 1963, *El poblado y la necrópolis megalíticos de Los Millares (Santa Fe de Mondújar; Almería)*. Biblioteca Praehistorica Hispana, III, Madrid.
- ÁLVAREZ FERNÁNDEZ, O., 1993, *Análisis polínicos en la Baja Limia*. Tesis de Licenciatura inédita, Campus Universitario de Ourense, Universidade de Vigo.
- ÁLVAREZ FERNÁNDEZ, O., DÍAZ LOSADA, E., GONZÁLEZ PORTO, AV. & SAA OTERO, M.P., 1998, "Análisis polínico de paleosuelos y sedimentos turbosos en el SW de Orense (España)". *Bol. Macaronésica*, 23, pp. 177-190.
- BELLO DIÉGUEZ, J.M., 1991, "Monumento megalítico de Dombate". *Arqueología/Informes 2*, Xunta de Galicia, Santiago de Compostela, pp. 2127.
- BOTELHO, H., 1896, "Antas no concelho de Vila Pouca de Aguiar". *O Arqueólogo Português*, 2, pp. 8183.
- 1898, "Antas do concelho de Alijó". *O Arqueólogo Português*, 4, pp. 180192.
- BOUZA-BREY, F., CARRO OTERO, J. & GARCÍA MARTÍNEZ, M.C., 1973, "Excavaciones en túmulos dolménicos en San Andrés de Lousada". *Noticiario Arqueológico Hispánico*, Prehistoria 2, Madrid, pp. 4155.
- BRENHA, J., 1903, "Dólmenes ou antas do concelho de Vila Pouca de Aguiar". *Portugalia*, 1, Porto, pp. 691706.
- BUENO RAMÍREZ, P., 1988, *Los dólmenes de Valencia de Alcántara*. Excavaciones Arqueológicas en España, 155, Madrid.
- 1991, *Megalitos en la Meseta Sur. Los dólmenes de Azután y La Estrella (Toledo)*. Excavaciones Arqueológicas en España, Madrid.
- CAVA, A., 1984, "La industria lítica en los dólmenes de País Vasco Meridional". *Veleia*, N.S., 1, Vitoria, pp. 51145.
- 1988, "Estado actual del conocimiento del Neolítico en el País Vasco Peninsular". *Veleia*, 5, Vitoria, pp. 6196.
- 1990, "El Neolítico en el País Vasco". *Munibe*, 42, San Sebastián, pp. 97106.
- CERDÁN, G., LEISNER, G. & LEISNER, V., 1952, *Los sepulcros megalíticos de Huelva*. Excavaciones Arqueológicas del Plan Nacional 1946. Informes y Memorias, 26, Madrid.
- CLETO, J.A. & FARO, S., 1988, "Escavação da mamoa de Igrejinhãs". *Arqueologia*, 17, Porto, pp. 4457.
- CRIADO BOADO, F. (Dir.) et al., 1991, *Arqueología del Paisaje. El área Bocelo-Furelos entre los tiempos paleolíticos y medievales*. "Arqueología/ Investigación 6", Xunta de Galicia, A Coruña.
- CRUZ, D.J., 1987, "Escavação da mamoa de Monte Maninho". *Trabalhos de Antropología e Etnología*, 28, Porto, pp. 1541.
- CRUZ, D.J. & SANCHES, M.J., 1985, "Escavação da mamoa 4 de Outeiro de Gregos". *Arqueologia*, 11, Porto, pp. 2639.
- CRUZ, D.J. & VILAÇA, R., 1990, *Trabalhos de escavação e restauro do dólmen 1 de Carapito*. Trabalhos do Instituto de Antropología "Dr. Mendes Corrêa", 45, Porto.
- DELIBES DE CASTRO, G. 1985, "El Calcolítico. La aparición de la metalúrgia". *En Historia de Castilla y León 1. La Prehistoria del Valle del Duero*, "Ambito Ediciones", Valladolid, pp. 36-52.
- DELIBES, G. & SANTONJA, M., 1986, *El Fenómeno Megalítico en la provincia de Salamanca*. "Ediciones de la Diputación de Sala manca", 1, Salamanca.
- DELIBES DE CASTRO, ROJO, M.A. & SANZ, C., 1986, "El sepulcro de corredor de Las Arnillas". *Noticiario Arqueológico Hispánico*, 27, Madrid, pp. 935.
- DELIBES DE CASTRO, G. & VAL RECIO, J., 1990, "Prehistoria Reciente Zamorana. Del Megalitismo al Bronce". *En Actas del I Congreso de Historia de Zamora*, I, Prehistoria Mundo Antiguo, Zamora, pp. 5399.
- EGUILETA FRANCO, J.M., 1986, *Aportación ao estudo dos contextos megalíticos galaicos; os axuares megalíticos da Galicia Sur: o Miño Medio e a Limia*. Tesis de Licenciatura inédita, Universidade de Santiago, Facultade de Xeografía e Historia, Santiago de Compostela.

- 1987, "Catálogo dos materiais ergolóxicos depositados no Museo de Ourense procedentes de túmulos prehistóricos". *Boletín Auriense*, XVII, Ourense, pp. 998.
- 1993-4, As mámoas dos Concellos da Baixa Limia: aportación al catálogo de monumentos tumulares de la comarca". *Cuadernos de Estudios Gallegos*, XLI, Santiago de Compostela, pp. 41-64.
- 1994, *Megalitismo e Calcolítico na Baixa Limia galega*. Tesis Doctoral microfilmada, Servicio de Publicacións e Intercambio Científico, 404, Universidade de Santiago de Compostela.
- 1995, *Investigación arqueológica en Muíños (Baixa Limia, Ourense): "O Concello de Muíños e o seu marco arqueolóxico-xeográfico"* (Memoria de las Campañas 1990, 1991, 1992, 1993 y 1994). Memoria depositada na Dirección Xeral do Patrimonio Histórico e Documental (Xunta de Galicia), Santiago de Compostela.
- 1997, "Yacimientos calcolíticos al aire libre en torno al embalse de As Conchas (Baixa Limia, Ourense, Galicia)". *Minivis*, 5, pp. 41-64.
- 1999, *A Baixa Limia galega na Prehistoria Recente. Arqueoloxía dunha paisaxe na Galicia Interior*. Excma. Deputación Provincial de Ourense. Ourense.
- EGUILETA FRANCO, J.M., RODRÍGUEZ CAO, C. & XUSTO RODRÍGUEZ, M., 1991, "Arqueoloxía na Baixa Limia: o encoro de Lindoso e o seu medio histórico (Lobios, Ourense)". *Arqueoloxía/Informes 2. Campaña 1988*, Santiago de Compostela, pp. 139-156.
- EGUILETA FRANCO, J.M. & XUSTO RODRÍGUEZ, M. 1995, "Prospección e escavación arqueolóxica na Baixa Limia. o encoro de Lindoso e o seu entorno (Ourense)". *Arqueoloxía/Informes 3. Campaña 1989*, Santiago de Compostela, pp. 107-114.
- FÁBREGAS VALCARCE, R., 1988, "Materiales da mámoa da Martagona". *Boletín do Centro de Estudos Melidenses*, 4, A Coruña, p. 8.
- 1992, *Megalitismo del noroeste de la Península Ibérica. Tipología y secuencia de los materiales líticos* "Aula Abierta", 58, Universidad Nacional de Educación a Distancia, Madrid.
- FÁBREGAS VALCARCE, R. & FUENTE ANDRÉS, F. de la, 1984, "Materiales de un túmulo megalítico de Leiro (Rianxo)". *Gallaecia*, 7/8, Sada, pp. 233-244.
- 1988, *Aproximaciones a la cultura material del megalitismo gallego: la industria lítica pulimentada y el material cerámico*. "Arqueohistoria", 2, Santiago de Compostela.
- 1991-2, "Escavación da mámoa 6 de Os Campiños (Leiro, Rianxo), Campaña de 1984". *Brigantium*, 7, A Coruña, pp. 91-149.
- FERNÁNDEZ ALONSO, S., 1906, "Galicia Prehistórica". *Boletín de la Comisión de Monumentos de Ourense*, 111,65, Ourense, pp. 327-332.
- FERRO COUSELO, X., 1972, "Reseña del Museo". *Boletín Auriense*, 11, Ourense, pp. 319-345.
- GONÇALVES, V.S., 1971, *O Castro de Rotura e o Vaso Campaniforme*. Junta Distrital de Setúbal, Setúbal.
- 1992, *Reverdo as antas de Reguengos de Monsaraz*. Cuadernos da Uniarq, 2, Lisboa.
- GONÇALVES, A.H.B., 1986, "Sabrosa Nótula Arqueológica", *I Congresso Internacional sobre o rio Douro*, Vilanova de Gaia, p. 107.
- 1988, "Escavação da mamoa da Touta". *Arqueologia*, 17, Porto, pp. 58-72.
- JORGE, S.O., 1986, *Povoados da Pré-História recente da Região de Chaves-Vª. Pª. de Aguiar*. "Instituto de Arqueologia da Faculdade de Letras do Porto", (3 Vols.), Porto.
- JORGE, V.O., 1978, "Escavação de um túmulo megalítico: problemas metodológicos". *Setúbal Arqueológico*, IV, Setúbal, pp. 241-254.
- 1979, "Escavação das mamoadas 2 e 3 de Outeiro de Gregos". *Revista de Guimarães*, LVXXXIX, Guimarães, pp. 251-264.
- 1980, "Escavação da mamoa 1 de Outeiro de Ante". *Setúbal Arqueológica*, VINII, Setúbal, pp. 85-115.
- 1982, *Megalitismo do norte de Portugal. Os monumentos e a sua problemática no contexto europeu*. Dissertação de Doutoramento policopiada, Faculdade de Letras de Porto, Porto.
- 1987, "Materiais provenientes de dólmenes de Escariz, Arouca (escavações de Domingos Pinho Brandão)". *Cuadernos de Arqueologia*, Série II, Braga, pp. 211-226.
- JORGE, V.O. & BETTENCOURT, Á.M.S., 1988, "Sondagens arqueológicas na mamoa 1 de Cha de Parada". *Arqueologia*, 17, Porto, pp. 73-118.

- JORGE, V.O. et. al., 1987, "As mámoas de Fumas (Serra da Aboboreira)". *Arqueologia*, 16, Porto, pp. 1939.
- JORGE, V.O., JORGE, S.O. & CLETO, J.A., 1987, "Escavação da mamoa 3 de Meninas de Crasto". *Trabalhos de Antropologia e Etnologia*, 26, Porto, pp. 7593.
- KALB, Ph., 1987, "Monumentos megalíticos entre Tejo e Douro". En VV. AA., *El Megalitismo en la Península Ibérica*, Ministerio de Cultura, Madrid, pp. 95110.
- LEISNER, V., 1970, "Micrólitos do tipo tardenoiense em dólmenes portugueses". *Actas das I Jornadas Arqueológicas*, II, pp. 195199.
- LEISNER, G. & LEISNER, V., 1951, *Antas do Concelho de Reguengos de Monsaraz. Materiais para o estudo da Cultura Megalítica em Portugal*. "Instituto para a Alta Cultura", Lisboa.
- 1959, *Die Megalithgraber der Iberischen Halbinsel. Der Westen*. Berlín.
- LEISNER, V. & RIBEIRO, L., 1968, "Die dolmen von Carapito". *Madridrer Mitteilungen*, 9, Madrid, pp. 11-62.
- LEISNER, V., ZBYSZEWSKI, G. & VEIGA FERREIRA, O. da, 1961, *Les Grottes Artificielles de Casal do Pardo (Palmela) et la Culture du Vase Campaniforme*. "Serviços Geológicos de Portugal", Memoria 8, Lisboa.
- 1969, *Les Monuments Préhistoriques de Praia das Maças et de Casainhos*. "Serviços Geológicos de Portugal", Memoria 16, (Nova Serie), Lisboa.
- LÓPEZ CUEVILLAS, F., 1923, "Os dólmenes do Monte das Motas en Lobeira". *Nós*, 18, Santiago de Compostela, pp. 1821.
- 1925a, "As mámoas do concello de Lobeira". *Boletín de la Real Academia Gallega*, XV, A Coruña, pp. 2539.
- 1925b, "As mámoas do concello de Rairiz". *Boletín de la Real Academia Gallega*, XV, A Coruña, pp. 235245.
- 1973, "A Edade Megalítica". En OTERO PEDRAYO, R. (dir.) *Historia de Galicia*, III, (Prehistoria), (original redactado en 1952), Buenos Aires.
- LÓPEZ CUEVILLAS, F., FRAGUAS, A. & LORENZANA, p., 1930, "As mámoas do Saviñao". *Arquivos do Seminario de Estudos Galegos*, V, Santiago de Compostela, pp. 6391.
- LÓPEZ CUEVILLAS, F. & LORENZO FERNANDEZ, X., 1958, "Dos necrópolis dolménicas". *Cuadernos de Estudios Gallegos*, 41, Santiago de Compostela, pp. 85291.
- 1959, "Nuevo material de mámoas del Valle Alto del Barbantiño". *Boletín de la Comisión de Monumentos de Orense*, XX, Ourense, pp. 6370.
- MACINEIRA, F., 1941, "El vaso campaniforme y condiciones de sus intactos yacimientos en la estación de Puentes del cabo Ortegá". *Atlantis*, "Actas y Memorias de la Sociedad Española de Antropología, Etnografía y Prehistoria", XVI, pp. 356369.
- 1947, *Bares. Puerto hispánico de la primitiva navegación occidental*. Centro Superior de Investigaciones Científicas. Santiago de Compostela.
- MARTÍN VALLS, R. & DELIBES DE CASTRO, G., 1981, "Crisoles de fundición calcolíticos de la Tierra del Vino (hallazgos arqueológicos en la Provincia de Zamora)". *Boletín del Seminario de Arte y Arqueología*, XLVII, Valladolid, pp. 180184.
- MOITA, I., 1966, "Características predominantes do grupo dolménico da Beira Alta". *Ethnos*, 5, Lisboa, pp. 189312.
- MUÑOZ SALVATIERRA, M., 1976, *Microlitismo geométrico en el País Vasco*. Cuadernos de la Universidad de Deusto, 6, Bilbao.
- NUNES DE CASTRO, J., 1951, "Escavações no dolmen da Barrosa". *Revista de Guimarães*, LXI, Guimarães, pp. 196204.
- PAÇO, A. do & PINTO, E., 1961, "Vasos campaniformes da mamoa de Gilhabreu". *Boletim da Camara Municipal de Vila do Conde*, 2, Vila do Conde, pp. 924.
- PATIÑO GOMEZ, R., 1984a, "Excavación de la mámoa N° 1 de As Rozas (Campo Lameiro)". *Pontevedra Arqueológica*, I, Pontevedra, pp. 4574.
- 1984, "Excavación de la mámoa 1 de Chan da Cruz (Vilaboa)". *Pontevedra Arqueológica*, I, Pontevedra, pp. 1744.
- PEÑA SANTOS, A. de la, 1984a, "El yacimiento de Lavapés (Cangas de Morrazo): balance de las excavaciones 1981-1982". *Pontevedra Arqueológica*, I, Pontevedra, pp. 149178.

- PEÑA SANTOS, A de la & RODRÍGUEZ CASAL, AA, 1976, "Estudio de los materiales conservados en tres sepulturas megalíticas (Península del Morrazo, Pontevedra)". *Gallaecia, II*, Santiago de Compostela, pp. 5586.
- PIÑÓN VARELA, E, 1987, "Constructores de sepulcros megalíticos en Huelva: Problemas de una implantación". En VV. AA., *El Megalitismo en la Península Ibérica*, Ministerio de Cultura, Madrid, pp. 4572.
- POMBO MOSQUERA, XA, 1993-4, "Puntas de flecha de base cóncava en terras de Vilalba (Lugo)". *Boletín do Museo Provincial de Lugo*, VI, Lugo, pp. 75-82.
- RODRÍGUEZ CASAL, AA, 1983, "A mámoa de Monte Campelos e o seu enterramento secundario. Novos datos encol do Megalitismo Final Galego". *Boletín do Museo Provincial de Lugo*, 1, Lugo, pp. 717.
- 1989, *La necrópolis megalítica de Parxubeira (San Fins de Eirón, Galicia), Campañas arqueológicas de 1977 a 1984*. Monografías Urxentes do Museu, 4, A Coruña.
- SANCHEŠ, M.J., 1987, "A mámoa 3 de Pena Mosqueira, Sanhoane (Mogadouro)". *Arqueologia*, 15, Porto, pp. 94115.
- 1997, *Pré-História Recente de Tras-os-Montes e Alto Douro*. Sociedade Portuguesa de Antropología e Etnografía, Porto.
- SARMENTO, F.M., 1933, *Dispersos*. Imprensa da Universidade de Coímbra, Coímbra.
- SAVORY, H.N., 1970, "A section through the innermost rampart at the Chalcolithic Castro of Vila Nova de S. Pedro, Santarem (1959)". *Actas das I Jornadas Arqueológicas*, I, Lisboa, pp. 133162.
- SIERRA RODRÍGUEZ, J.C., 1981, *Excavación arqueológica de la necrópolis megalítica de "O Marco do Camballón" (Oirós, Vila de Cruces, Pontevedra)*, Informe preliminar policopiado.
- SILVA, P.F.A, 1982, "A mamoa 2 da Serrinha". *Arqueología*, 6, Porto, pp. 1931.
- 1987, "Escavação da mámoa 2 da Alviada (Alviada) Escariz. Arouca". *Arqueologia*, 15, Porto, pp. 7791.
- SOBRINO LORENZORUZA, R., 1956, "Excavaciones de una sepultura megalítica en Moaña Península de Morrazo, Pontevedra". *Noticiario Arqueológico Hispánico*. IIIIV, Madrid, pp. 2736.
- VÁZQUEZ NUÑEZ, A, 1901, "Estudios Protohistóricos, Las mámoas". *Boletín de la Comisión de Monumentos de Orense*, 111, Ourense, pp. 345353.
- VÁZQUEZ SEIJAS, M., 1945, "Riqueza megalítica en tierras de Villalba". *Boletín de Comisión de Lugo*, II, Lugo, pp. 348361.
- VÁZQUEZ VARELA, J.M., 1979, "El Horizonte de Rechaba: una nueva fase de la cultura megalítica en el noroeste peninsular". *Boletín Auriense*, IX, Ourense, pp. 926.
- VÁZQUEZ VARELA, J.M. & GABEIRAS VÉREZ, X., 1993-4, "Nuevos datos y perspectivas sobre el Megalitismo del Noroeste de la Península Ibérica: los materiales del Túmulo 5 de las necrópolis de Lousada, Xermade (Lugo)". *Boletín del Museo Provincial de Lugo*, VI, Lugo, pp. 65-74.
- VEIGA FERREIRA, O. da & TAVARES DA SILVA, C., 1970, "A estratigrafía do povoado pré-histórico de Rotura (Setubal). Nota preliminar". *Actas das Ias Jornadas Arqueológicas*, II, Lisboa, pp. 203-217.

Figura 1.

Localización de A Limia en el noroeste y del Ayuntamiento de Lobios en la provincia de Ourense.



Figura 2.

Localización en la Baja Limia del túmulo M2 de San Blazo (SB/M2) en relación con el M1 del mismo grupo.

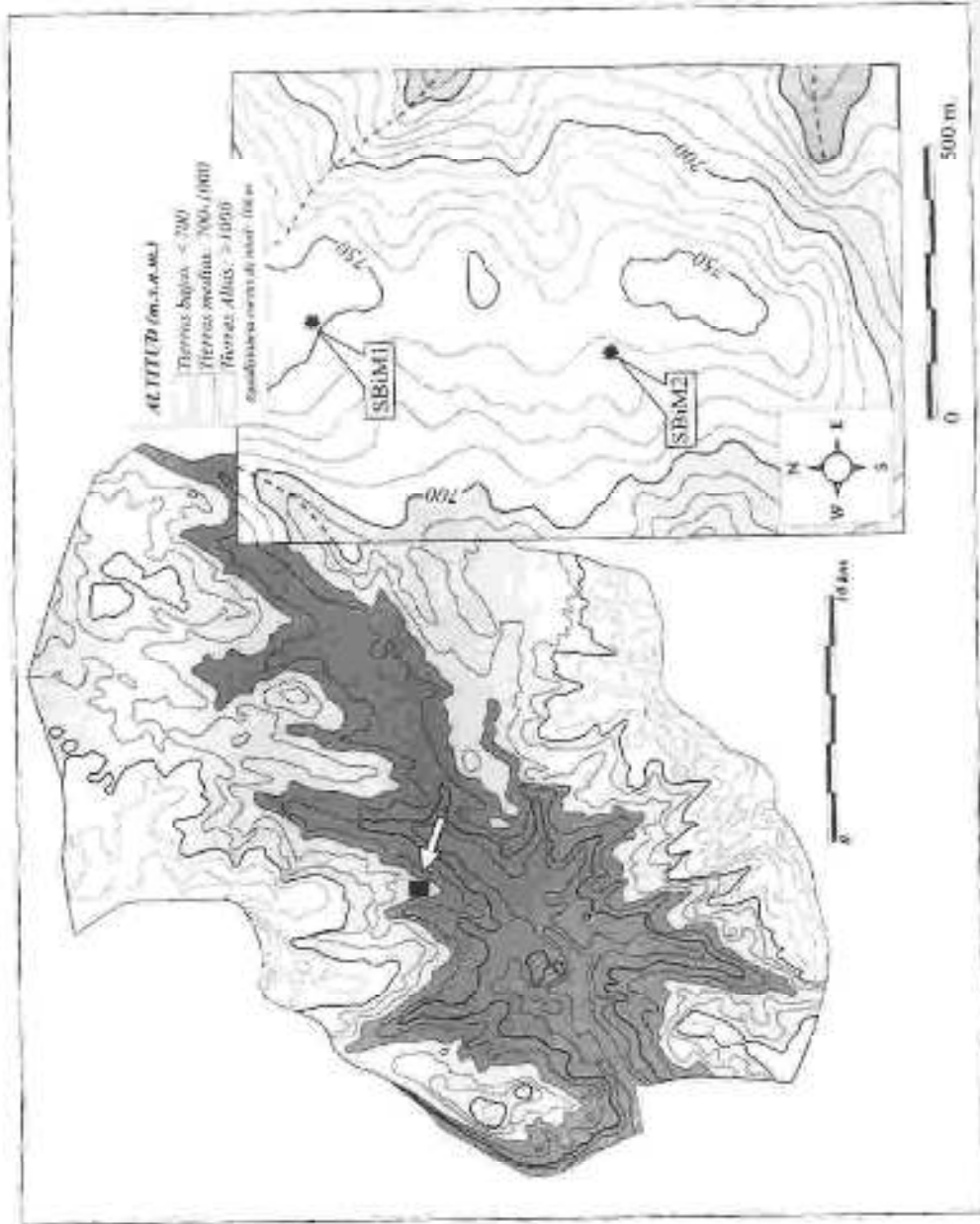


Figura 3.
Plano general de la excavación.

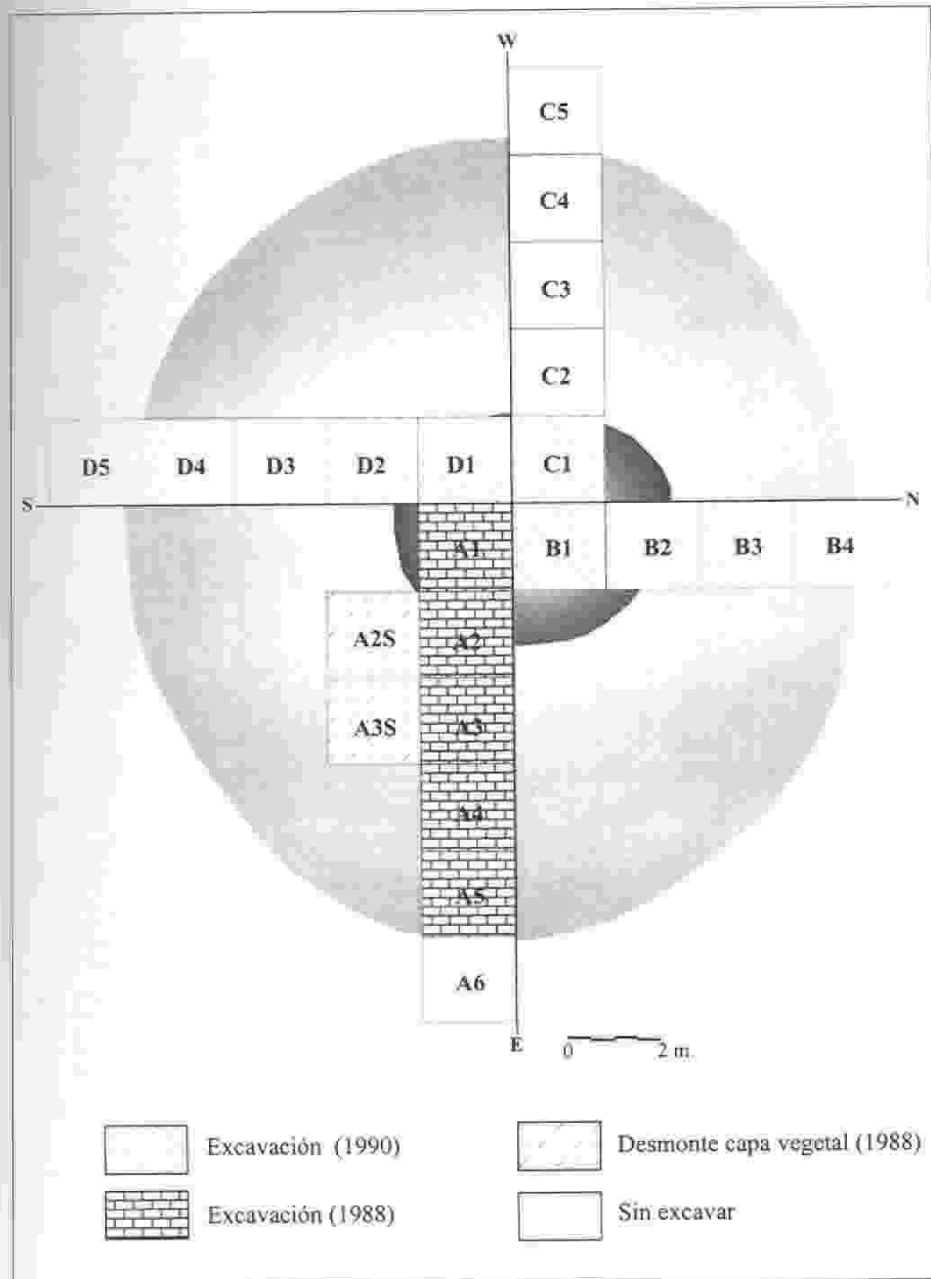


Figura 4.
Planimetría inicial y final del sector este del monumento.

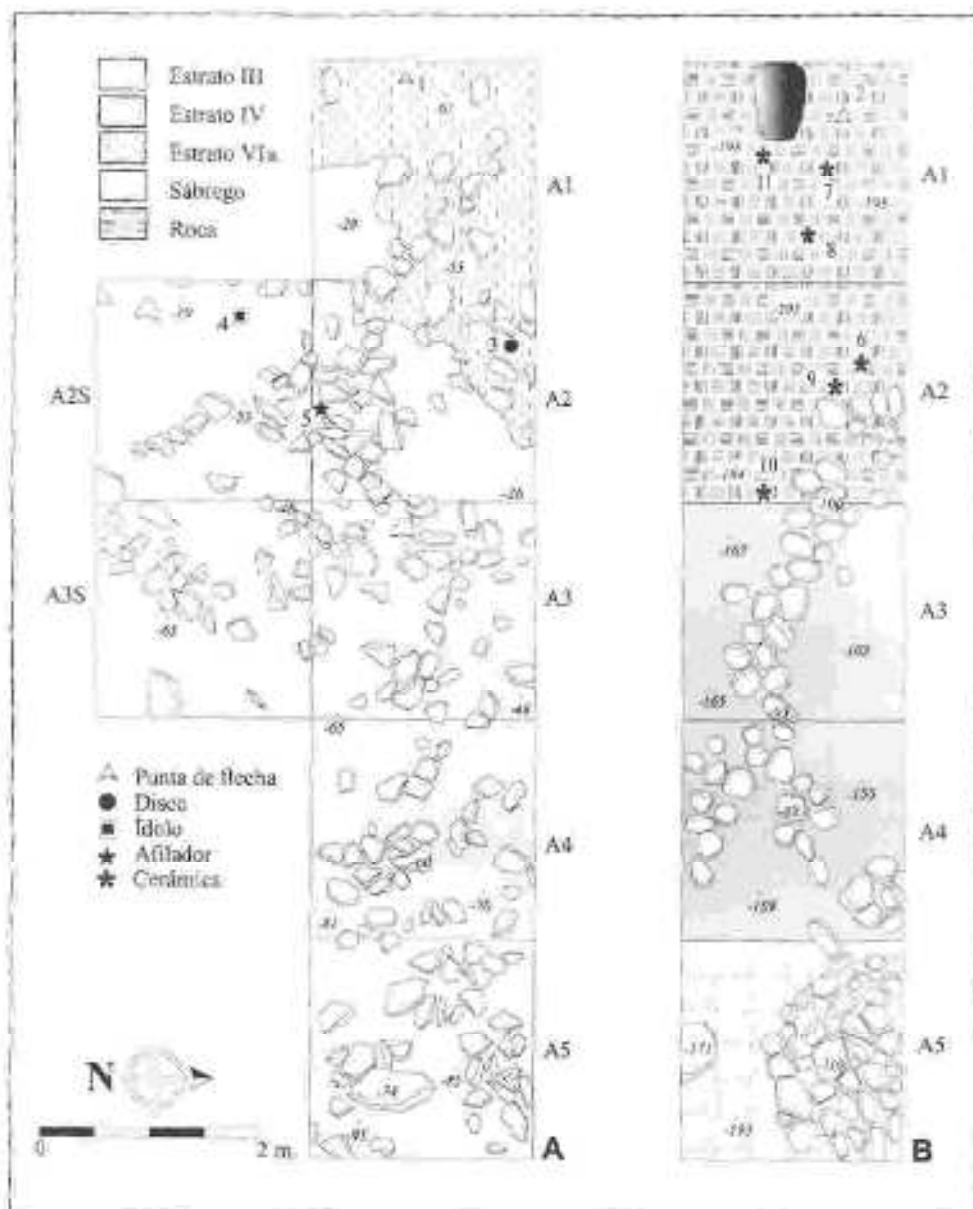


Figura 5.

Planimetría inicial y final de los ejes S-N, O-E, y N-S.

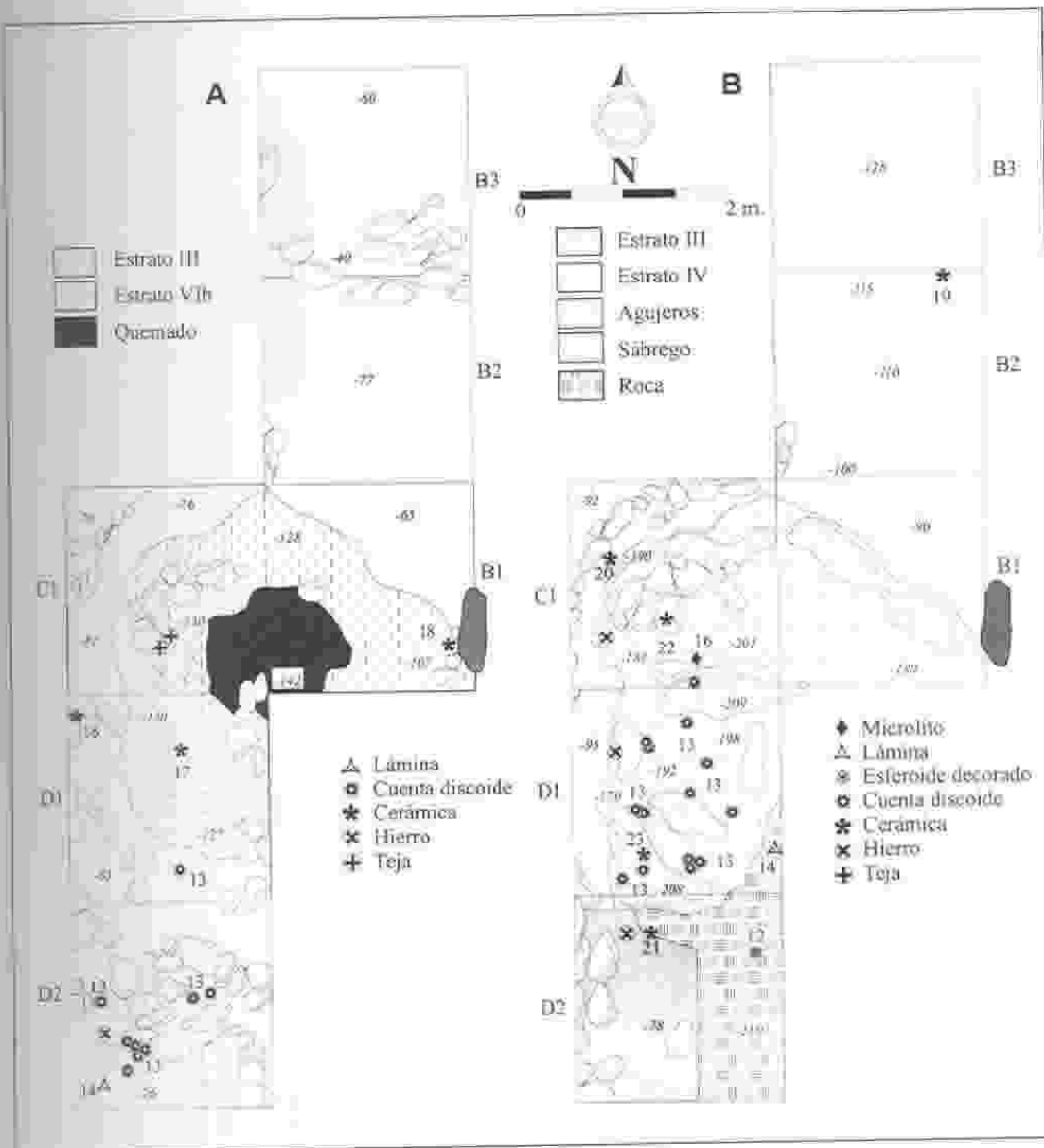


Figure 6.
Estratigrafía.

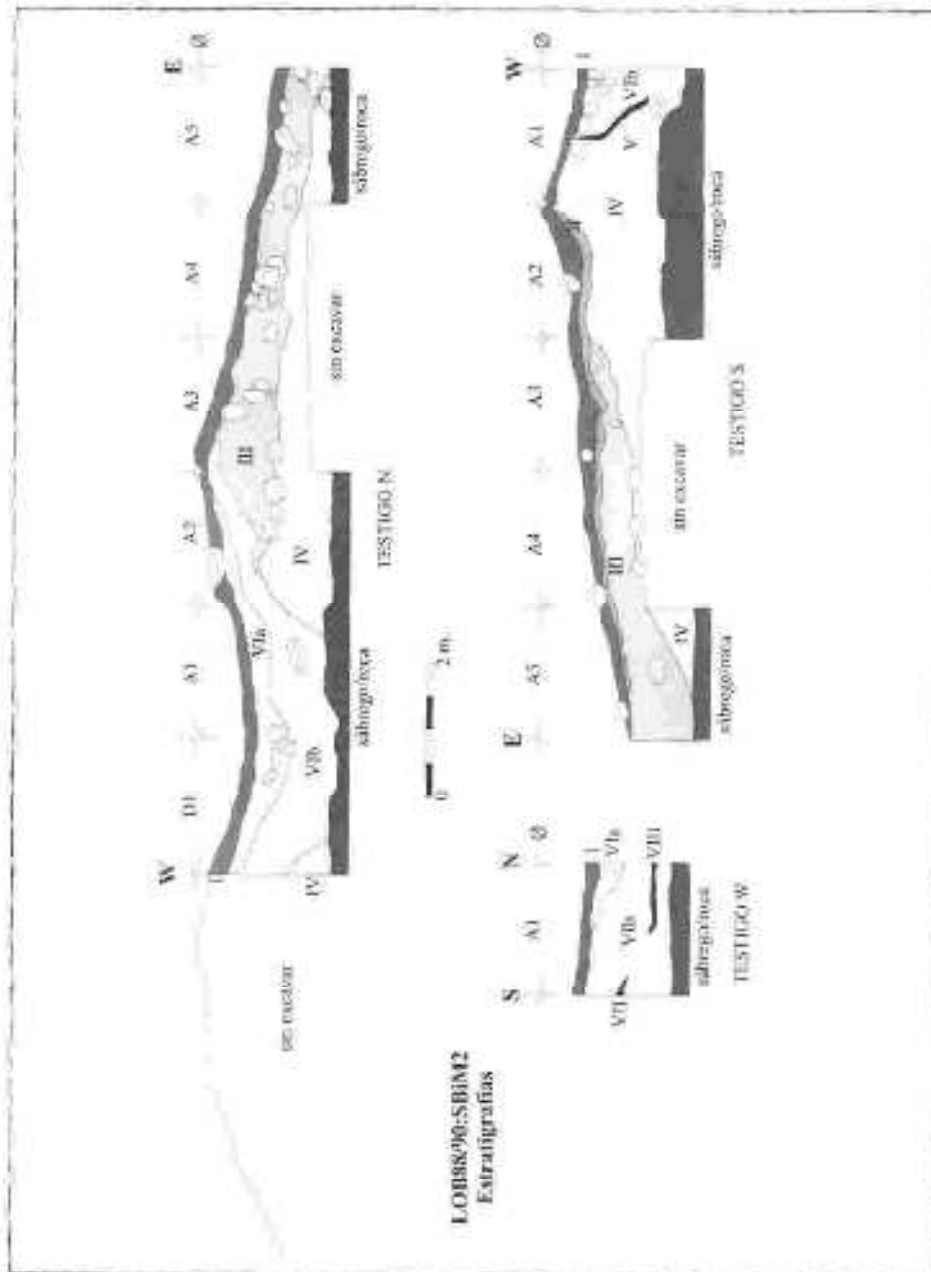


Figura 7.
Materiales líticos: puntas de flechas, láminas y microlito.

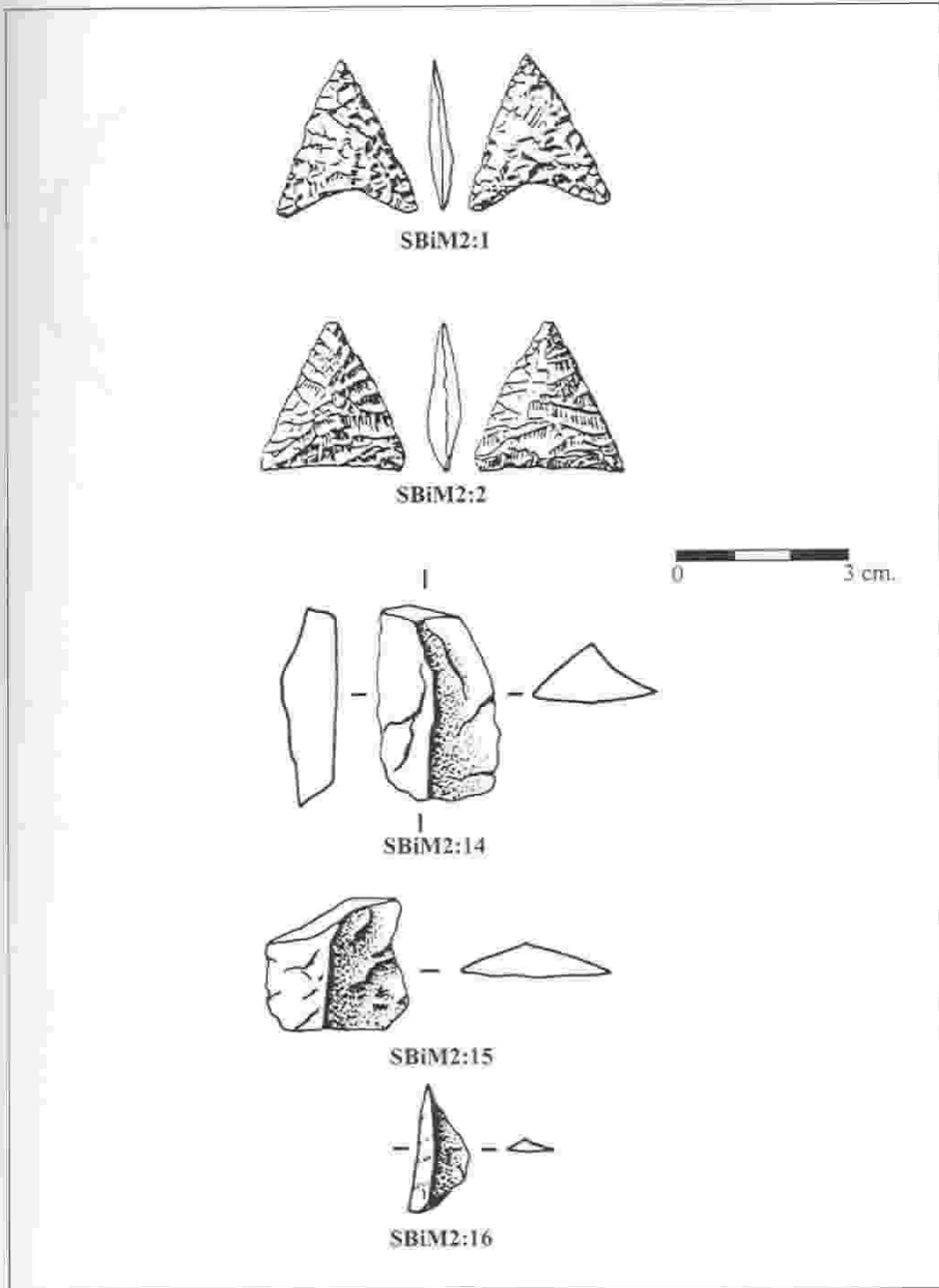


Figura 8.
Materiales líticos: disco y afilador.

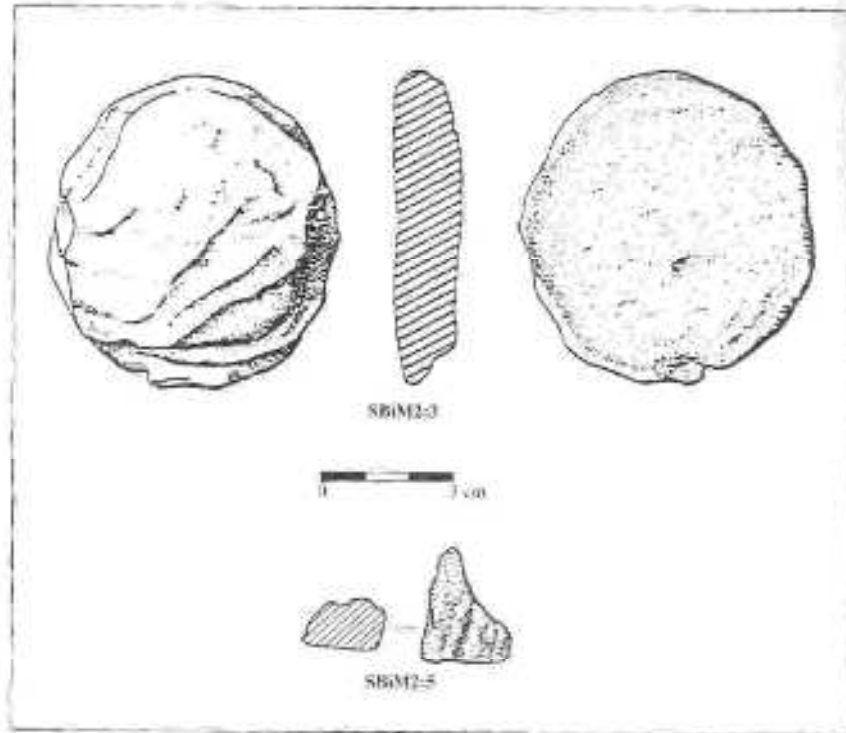


Figura 9.
Materiales líticos: idolo.

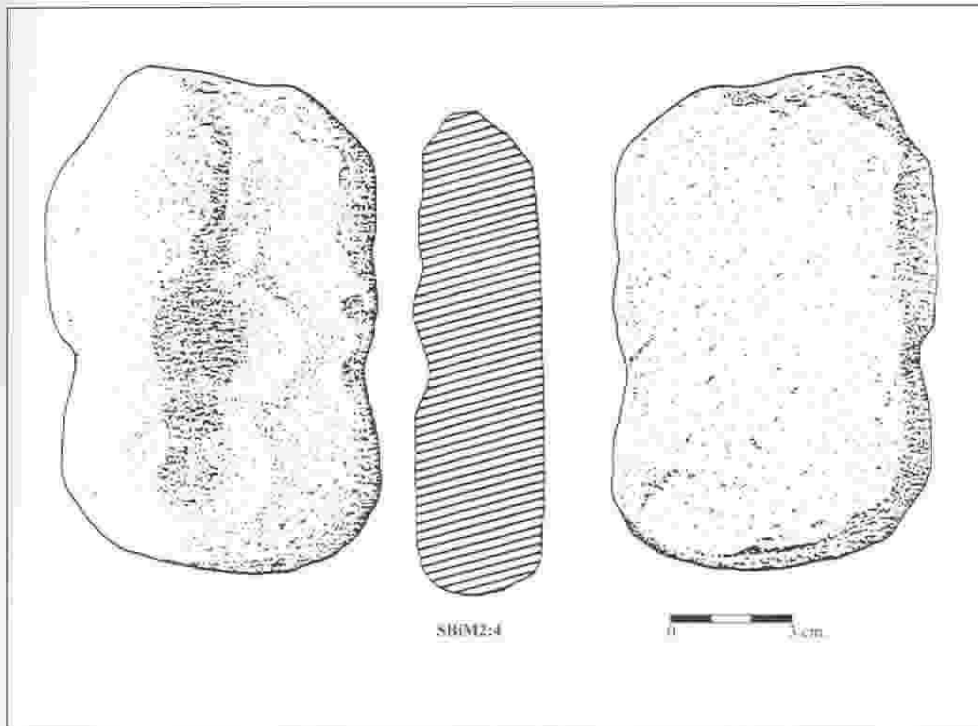


Figura 10.
Materiales frecuentes de cocoides y esférulo de tetrádo.

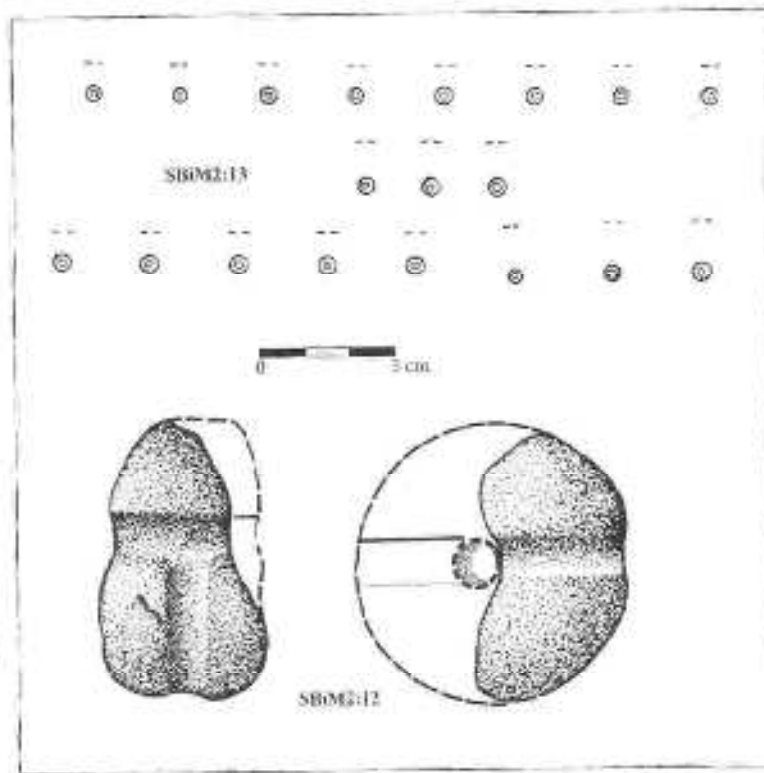


Figura 11.
Materiales cerámicos.

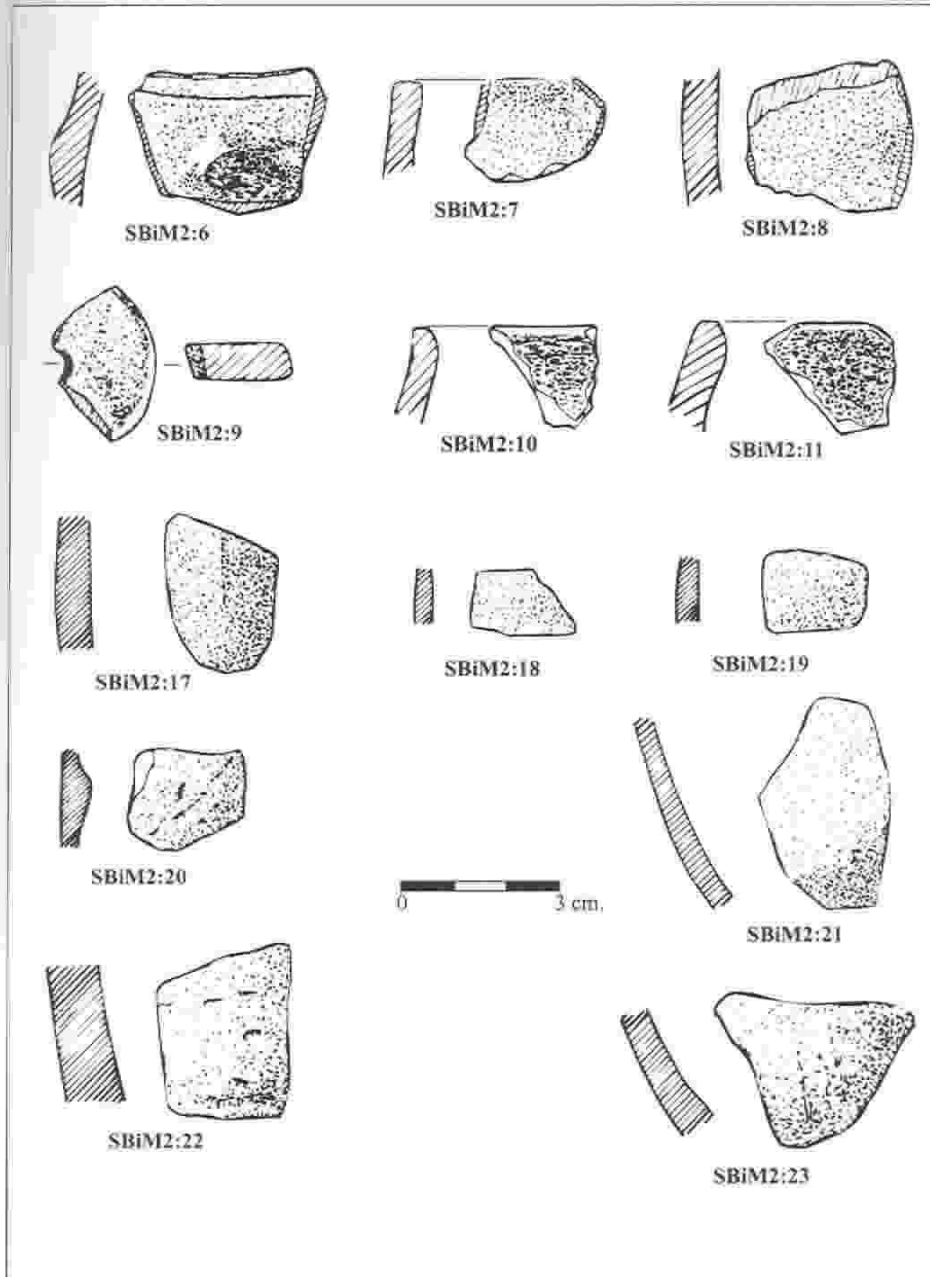


Figura 13.
Diagrama polínico.

